

СТРУКТУРА, ФАЗОВЫЕ
ПРЕВРАЩЕНИЯ И ДИФФУЗИЯ

УДК 669.24'295:539.26

СТРУКТУРА И СВОЙСТВА ИНТЕРМЕТАЛЛИДНЫХ ФАЗ СИСТЕМЫ
Ni–Ti, СИНТЕЗИРОВАННЫХ ПРИ СЕЛЕКТИВНОМ ЛАЗЕРНОМ
СПЕКАНИИ. I. РЕНТГЕНОВСКИЙ ФАЗОВЫЙ АНАЛИЗ

© 2002 г. Д. М. Гуреев*, О. Г. Емелина*, Л. В. Журавель**, А. Л. Петров*,
А. В. Покоев**, И. В. Шишковский*

* Самарский филиал Физического института им. П.Н. Лебедева РАН,
443011 Самара, ул. Ново-Садовая 221

** Самарский государственный университет,
443011 Самара, ул. акад. Павлова 1

Поступила в редакцию 10.04.2001 г.;
в окончательном варианте 15.08.2001 г.

Методом рентгеновского фазового анализа определен фазовый состав спеков, полученных из смеси порошков Ni и Ti при послойном селективном лазерном спекании. Показана возможность контролируемого получения биосовместимой фазы NiTi в объеме многослойных образцов путем варьирования параметрами лазерного воздействия, что открывает широкие перспективы по использованию метода селективного лазерного спекания в медицине. Установлено, что дополнительный отжиг способствует завершенности процессов образования интерметаллидных фаз.

ВВЕДЕНИЕ

Сплав порошков титана с никелем эквиатомного состава (никелид титана) обладает рядом уникальных свойств, к которым относятся высокая удельная прочность, коррозионная стойкость, эффекты памяти формы, псевдоупругости и демпфирования, наличие нескольких пределов текучести и т.д. [1, 2]. В литературе широко обсуждается возможность использования этих свойств никелида титана в ортопедии, в том числе при создании пористых имплантантов [3]. Вместе с тем перечисленные свойства никелида титана и перспективы применения интерметаллида в медицине существенно зависят от его химической чистоты, а также от способа получения.

Традиционно получение никелида титана основано на многократном переплаве или использовании самораспространяющегося высокотемпературного синтеза (СВС) в режиме горения [1–4]. Известен также способ спекания уплотненных порошковых смесей Ni и Ti за счет взаимной диффузии этих компонентов в твердой фазе [5]. При реализации этих методик образуются слитки или спеки интерметаллида неконтролируемой формы и потому требующие дополнительной обработки применительно к их последующему использованию.

В работе [6] впервые была показана возможность реализации точно в пятне лазерного излучения контролируемой реакции СВС диффузионного типа в порошковых системах Ni–Ti и Ni–Al. Это открывает широкие перспективы послойно-

го создания функциональных объемных изделий любой наперед заданной формы (в том числе и индивидуальных протезов) по компьютерным моделям методом селективного лазерного спекания (СЛС) [7] из синтезируемых интерметаллидных фаз. Действительно, в работе [8] в системе Ni–Ti путем изменения состава, дисперсности порошковых фракций и параметров лазерного воздействия (ЛВ) были определены оптимальные режимы обработки для синтеза монослоев. Было показано также [9], что добавка гидроксиапатита в реакционную смесь для повышения биосовместимости синтезируемых изделий не ухудшает условия фазообразования при скоростном ЛВ.

В настоящей работе методом рентгеновского фазового анализа изучались условия фазообразования, при которых в результате многослойного СЛС, а также путем дополнительного отжига спеченных образцов в порошковой композиции Ni–Ti эквиатомного состава удается синтезировать максимально возможное количество интерметаллидной фазы NiTi.

Использовали порошковые композиции Ti + Ni с расчетным составом, соответствующим стехиометрии интерметаллидной фазы NiTi. В табл. 1 указаны марки и паспортные размеры частиц порошков, из которых приготавливали следующие смеси: № 1 – 1 + 3; № 2 – 1 + 4; № 3 – 2 + 4; № 4 – 5. В смеси № 4 плакирование титана никелем осуществляли химическим способом по методике [10]. Размеры фракций контролировали ситовым анализом и выбирали менее 63 мкм. Порошки титана

Таблица 1. Номенклатура используемых порошков

№	Наименование порошка и его марка	Размер частиц порошковой фракции
1	Наплавочный порошок ПГСР4 (Ск 15–18 %, Si 3–4.5 %, C 0.6–1 %, В 2.8–3.8 %, остальное – Ni)	50–150
2	Порошок никеля ПНК-1	0–100
3	Порошок титана ПТОМ	0–40
4	Порошок титана ПТХ	0–100
5	Ti плакированный Ni	50–100

предварительно сушили в вакуумном шкафу. Рентгеновский анализ проводили на установках ДРОН-2 и 3 в CoK_{α, β}-излучении.

Процесс СЛС осуществляли по методике [8, 9] в защитной среде Ar с помощью сканирующего лазерного излучения (ЛИ) на непрерывном Nd-YAG лазере. Диаметр лазерного пучка в фокусе составлял ~100 мкм. Мощность лазерного пучка изменяли в пределах $P = 1\text{--}23$ Вт и контролировали измерителем мощности ТИ-3.

Отжиг синтезированных образцов проводили в термической вакуумной печи СШВЛ-0.6.2/16М01. Режим отжига образцов 900°C был выбран в соответствии с равновесной фазовой диаграммой системы Ni-Ti [1], согласно которой наиболее легкоплавкая эвтектика в этой системе наблюдается при температуре 920°C.

РЕЗУЛЬТАТЫ ЭКСПЕРИМЕНТОВ И ИХ ОБСУЖДЕНИЕ

Образцы синтезировали на режимах, оптимизированных ранее в [8, 9]. Спекались отдельные монослои размерами $15 \times 15 \times d$ мм, образованные ЛВ на порошковый слой, высота которого заведомо больше, чем толщина d одного монослоя, и 4–6 слойные изделия, получаемые последовательным нанесением порошковой композиции поверх спеченного ранее монослоя и его лазерной обработкой. В последнем случае толщина свободно насыпаемых слоев – H порошковых композиций составляла ~100–150 мкм и выбиралась с точки зрения лучшей припекаемости монослоев друг к другу. Фактически, многослойное напекание представляет собой дополнительное термическое воздействие на уже синтезированную структуру монослоя. Поэтому в настоящем исследовании важно было выяснить и то, как изменяется фазовый состав при многослойном спекании в результате многократного ЛВ.

Первоначально рентгеноструктурному фазовому анализу подвергали исходные порошковые смеси для установления расположения на дифрактограммах пиков отражений и величины ин-

тенсивностей основных фаз. В Табл. 2 представлены результаты обработки рентгеновских дифрактограмм некоторых смесей в зависимости от условий ЛВ (P – мощность ЛВ, V – скорость сканирования ЛИ, d – толщина спеченного объекта/режимы 1–14 для смеси № 2, 15–19 для смеси № 4/), количества синтезированных слоев и сочетания СЛС с термическим отжигом. Анализ данной таблицы не позволяет выяснить какие-либо закономерности в формировании интерметаллидных фаз. Увеличение мощности ЛВ или уменьшение скорости сканирования ЛИ, приводящие к возрастанию энерговклада, не всегда увеличивают содержание интерметаллидной фазы NiTi. Уменьшение скорости сканирования ЛИ при постоянной мощности фактически увеличивает время воздействия ЛИ на порошковую композицию и должно активизировать диффузионные процессы, однако никелида титана при этом становится меньше. Используя рассчитанный в модели пористой порошковой диффузионной пары Ni-Ti коэффициент взаимной диффузии $D(T = 1073\text{--}1273K) = 0.06\exp(-183000/RT)$ [5], можно оценить расстояние, которое проходит диффузионный фронт за время ЛВ $t = V/2R \sim 3.2\text{--}7.7$ мс. Оно составит лишь $\delta \sim (3\text{--}5) \times 10^{-3}$ мкм. Нанесение слоя на слой, т.е. дополнительное термическое воздействие, в основном увеличивает количество фазы NiTi. Наконец, короткий печной отжиг после СЛС (20 мин) уменьшает содержание NiTi или приводит к перераспределению никеля и титана в другие интерметаллидные фазы NiTi₂, Ni₃Ti.

При оптимизации режимов СЛС и для сведения к минимуму количества значимых параметров в работе [11] было предложено исключить геометрические константы процесса (R, K – радиус и коэффициент перекрытия пятна ЛИ [11]) за счет введения параметра Эндрю

$$A = \frac{P}{RV} \frac{R}{\Delta},$$

где, кроме уже названных, Δ – расстояние между проходами лазерного луча. По смыслу A [Дж/м²] представляет собой поверхностную плотность энергии ЛИ, затрачиваемую на процесс синтеза. Нам представляется разумным для процесса объемного спекания модифицировать параметр Эндрю к следующему виду: $A_V = A/H$ [Дж/м³]. Тогда результаты табл. 2 (режимы 1–14 для смеси № 2) могут быть сведены в график (рис. 1а). Из сравнения рис. 1а с рис. 1б (смесь № 1) видно, что с возрастанием объемного энерговклада процентное содержание фазы NiTi остается приблизительно одинаковым, в отличие от смеси № 1. Флуктуационный характер изменения относительной интенсивности фаз NiTi, NiTi₂ может быть связан с колебательным характером передвижения фронта реакции горения в экзотермической смеси Ni-Ti. В частности, фронт горения может догонять (опе-

Таблица 2. Режимы лазерной обработки и фазовый состав синтезируемых образцов

№	P, Вт	V, см/с	d, мм	Ni, вес. %	NiTi ₂ , вес. %	NiTi, вес. %	Примечания
1	13	3.1	1.5	33	0	67	СЛС, 1 слой
2	13	3.1	3.8	29	17	54	СЛС, 4 слоя
3	13	3.1	3.8	25	25	50	СЛС, 4 слоя + терм. отжиг
4	13	2.1	1.6	68	12	20	СЛС, 1 слой
6	13	2.1	3.9	0	48	52	СЛС, 4 слоя + терм. отжиг
7	13	1.3	1.9	20	36	44	СЛС, 1 слой
8	13	1.3	4	14	36	50	СЛС, 4 слоя
9	13	1.3	4	35	17	48	СЛС, 4 слоя + терм. отжиг
10	15.5	3.1	1.8	67	11	22	СЛС, 1 слой
11	15.5	3.1	3.5	39	16	45	СЛС, 4 слоя
12	15.5	3.1	3.5	50	0	50	СЛС, 4 слоя + терм. отжиг
13	22.9	1.3	3.5	31	45	24	СЛС, 1 слой
14	22.9	1.3	4	22	65	13	СЛС, 4 слоя
15	22.9	1.6	3.5	53	12	35	СЛС, 1 слой
16	22.9	1.6	4	44	14	42	СЛС, 4 слоя
17	22.9	1.6	4.3	50	14	36	СЛС, 4 слоя + терм. отжиг
18	22.9	1.3	4	31	0	69	СЛС, 1 слой
19	22.9	1.3	4.8	20	0	80	СЛС, 4 слоя

режать) лазерный источник и тогда образуется много интерметаллидных фаз, либо отставать от него и тогда в большем количестве должны присутствовать исходные фазы (см. на рис. 1а, б это Ni).

Для образцов монослоев, синтезированных из смеси № 1, нами был проведен более продолжительный термический отжиг (2 ч) при температуре $T = 900^\circ\text{C}$ для увеличения степени завершенности диффузионных процессов. На рис. 2 представлены участки дифрактограмм этих образцов, по которым можно проследить динамику фазового

перераспределения. Заметим, что поскольку образцы обладали высокой пористостью, то интенсивности рентгеновских пиков основных фаз по отношению к "шуму" выделяются не достаточно четко. Более того, при наших скоростях охлаждения после ЛВ $\sim (1.5\text{--}3.6) \times 10^5 \text{ }^\circ\text{C}/\text{с}$ можно ожидать образование измельченной структуры. После СЛС (рис. 2а) наблюдаются слабые линии не прореагированного в СВС реакции $\alpha\text{-Ti}$ и Ni. Монослой представляет собой смесь двух фаз NiTi и NiTi₂. Термическая обработка (рис. 2б) активизирует диффузионные процессы, время на протекание которых теперь оказывается достаточным, чтобы в результате свободные Ni и Ti вступили в реакцию с образованием дополнительного количества фаз NiTi и NiTi₂. На дифрактограммах наблюдается увеличение интенсивности их линий и появление новых интерференционных линий, что свидетельствует о положительном влиянии продолжительного термического отжига на рост никелида титана.

Уменьшение скорости сканирования ЛИ в 3 раза (рис. 2в) и более (рис. 2д), т.е. увеличение энерговклада от лазерного источника, понижает количество не прореагированного Ni и Ti уже на стадии СЛС. После СЛС видны сильные пики интерметаллидных фаз NiTi и NiTi₂, интенсивность которых после отжига только увеличивается (рис. 2г, 2е). Хорошо видно уширение линии NiTi за счет NiTi₂, в то время как исходные фазы Ni и Ti исчезают окончательно.

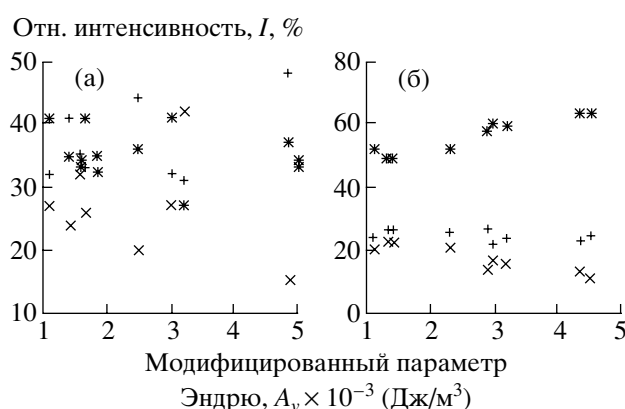


Рис. 1. Зависимость относительной интенсивности I (%) для Ni (+++) – 1, NiTi₂ (xxx) – 2; NiTi (***) – 3 от объемной плотности лазерной энергии A_V (Дж/м³): а – смесь № 2; б – смесь № 1.

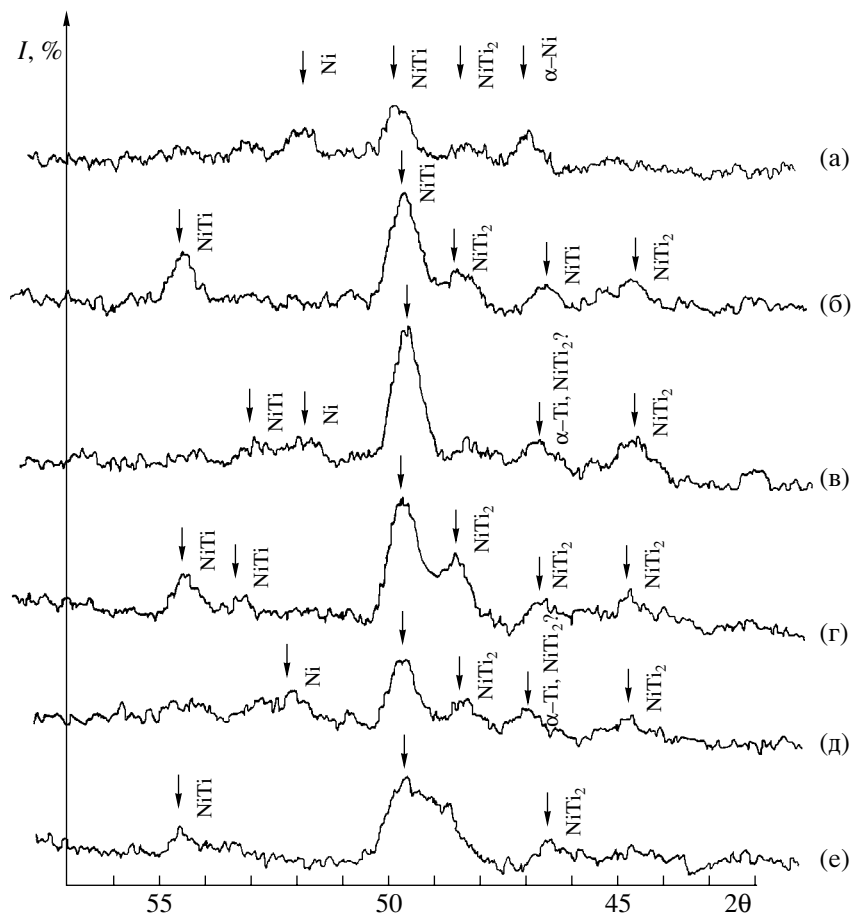


Рис. 2. Участок рентгенограмм образцов, синтезированных методом СЛС из смеси № 1 при различных скоростях сканирования ЛИ ($P = 16.3$ Вт) – (а, в, д) и в сочетании СЛС с термическим отжигом (б, г, е). Режимы а, б – $V = 6.3$ см/с, в, г – $V = 2.1$ см/с, д, е – $V = 1.3$ см/с.

Заметим, что некоторое количество фазы NiTi_2 присутствовало практически во всех проанализированных нами образцах. Остается надеяться, что это не должно существенно сказаться на свойстве биосовместимости синтезируемых методом СЛС объемных имплантантов из-за толерантности этой фазы по отношению к живой ткани.

Таким образом, в настоящей работе методом РФА были исследованы условия фазообразования в пористых объемных образцах, сформированных при СЛС из порошковых смесей системы $\text{Ni}-\text{Ti}$. Показано, что наиболее перспективной с точки зрения максимального выхода никелида титана при контролируемой ЛИ реакции СВС является смесь наплавочного порошка на основе никеля (ПГРС4) с порошком титана (ПТОМ). Характер перераспределения соотношения интерметаллидных фаз в зависимости от режима лазерной обработки и последующего кратковременного термического отжига неоднозначен ввиду малой длительности воздействия. Длительный же печной отжиг обеспечивает дополнительное протекание реакции синтеза не прореагировавших при

СЛС Ni и Ti и увеличивает содержание интерметаллидных фаз NiTi_2 , NiTi (последней в большей степени). Отмечен флюктуационный характер изменения относительной интенсивности интерметаллидных фаз.

Работа выполнена при финансовой поддержке Министерства образования РФ в рамках программы “Научные исследования высшей школы в области производственных технологий” (раздел “Лазерные технологии”) и Администрации Самарской области в рамках Региональной программы по поддержке науки и техники (грант № 01-10-А2000).

СПИСОК ЛИТЕРАТУРЫ

1. Крылов В.С., Кузьмин С.Л., Лихачев В.А. и др. Электронно-микроскопическое исследование структуры никелида титана // МИТОМ. 1978. № 8. С. 49–51.
2. Итин В.И., Хачин В.Н. и др. Структура и свойства никелида титана, полученных с использованием СВС // Известия вузов. Физика. 1977. № 2. С. 117–120.
3. Гюнтер В.Э., Котенко В.В. и др. Применение сплавов с памятью формы в медицине // Известия вузов. Физика. 1985. № 5. С. 127–131.

4. Итин В.И., Братчиков А.Д. и др. Формирование продуктов СВС в системах Ti–Ni и TiCo // Известия вузов. Физика. 1981. № 12. С. 75–79.
5. Аксенов Г.И., Дроздов И.А. и др. Получение никелида титана спеканием уплотненных порошковых смесей никеля с титаном за счет взаимной диффузии и без образования жидкой фазы // Порошковая металлургия. 1983. № 12. С. 40–46.
6. Шишкинский И.В., Макаренко А.Г., Петров А.Л. Исследование условий СВС интерметаллидов при СЛС порошковых композиций // Физика горения и взрыва. 1999. Т. 354. № 2. С. 59–64.
7. Шишкинский И.В., Гуреев Д.М., Петров А.Л. Формирование биосовместимых интерметаллидных фаз при лазерном спекании порошковых СВС композиций // Известия РАН. Серия физическая. 1999. № 10. С. 2077–2081.
8. Gureev D.M., Petrov A.L., Shiskovsky I.V. Formation of intermetallic phases under laser sintering of powdered SHS compositions Proc. SPIE Vol. 3688. 3. 237–242, 6th International Conference of Industiral Lasers and Laser Applications'98, V.Y. Panchenko & V.S. Golubev; Eds.
9. Журавель Л.В., Петров А.Л., Тарасова Е.Ю., Шишкинский И.В. Синтез биокомпозита на основе никелида титана с гидроксиапатитом при селективном лазерном спекании // Письма в ЖТФ. 2001. Т. 27. Вып. 5. С. 81–86.
10. Ващенко В.В., Голубев О.Н., Китаев Ф.И. и др. В книге: Неогранические и органосиликатные покрытия. Л.: Наука, 1975. С. 145–150.
11. Williams J.D., Decard C.D. Advances in modeling the effects of selective parameters on the SLS process // Rapid Prototyping Journal. 1998. V. 4. № 2. P. 90–100.